

北海道知床産褐鉄鉱のペレタイジングについて*

鎌田 林平**・白銀 幹夫・***・川端 昇***

佐々木定之***・中里 一英***・吉川正三郎***

On the Pelletizing of Limonite Ore from Shiretoko in Hokkaido

Rinpei KAMADA, Mikio SHIROGANE, Noboru KAWABATA

Sadayuki SASAKI, Kazuhide NAKASATO, and Shozaburo YOSHIKAWA

Synopsis:

Limonite from Shiretoko Peninsula, Hokkaido, has been examined as to its mineralogical properties, suitability for pelletizing, and properties of pellets obtained therefrom.

Results are as follows:

- (1) The ore consists of globular grains of irregular shape, which shows identical X-ray diffraction patterns as the artificial goethite.
- (2) The value of work index of the limonite is 4.80.
- (3) Green pellets having the crushing strength of 2.0 kg/pellet or above can be obtained only when pellet feed contains more than 60 per cent of under 325 mesh particles.
- (4) The high temperature crushing strength increases remarkably at 1100°C, so that a shaft furnace or a rotary kiln can be used for the firing of the pellets.
- (5) Pellets of highest mechanical strength can be obtained by firing the green pellet containing 1% bentonite and 1% lime as binder at 1300~1350°C.
- (6) The crushing strength of the pellets thus obtained is >500 kg/pellet, the tumbler index >95% (1mm over), the shatter strength 100%, porosity about 20% and reducibility (JIS specification) about 60%.

(Received June 22, 1968)

1. 緒 言

知床半島の褐鉄鉱は、北海道開発庁の調査により、その賦存状態が全体的に明らかとなつた。そのうち100万t前後のものがウトロ、イダ・シユベツ、知床の3鉱床であり、その他あわせて500万tといわれる。しかし本地方は交通きわめて不便であり、かつ鉱石は多くの水分を含有し、ときには鉄明ばん石を伴うのでイオウを相当量含有する。したがつて生鉱石のままでは運搬上、壳鉱上不利であり、現地でペレット化あるいは焼結することが開発上有利と考えられる。

わが国では、褐鉄鉱の焼結は鋼管鉱業(株)群馬鉄山でロータリーキルンで行なわれた例があるが、ペレタイジングは例がないので種々不明な点がある。この点を明らかにすることが本試験の目的であり、北海道開発庁の委託により行なつたものである。

2. 試 料 の 性 状

本試料は含鉄鉱泉からもたらされた沈殿型の含鉄明ば

ん石褐鉄鉱床に属しり、比較的堅固な塊鉱である。鉱床の付近には多くの枯渴鉱泉が残存し鉱床生成の過程を知ることができるばかりでなく、なかには現に褐鉄鉱を沈殿しつつある鉱泉もある。本地方の鉱床は発見されて日が浅いので、鉱石の性状についての報告は少ない。したがつて始めにこれについて調査した。

2.1 化学分析

ウトロ鉱石と知床鉱石の分析結果をTable 1に示す。水分が約15%あるがP, As, Kなど不純物の比較的小ない良質なものである。

2.2 鉱物の同定

顕微鏡観察によれば大部分が不規則な形状ではあるが針鉄鉱であり、きわめて多孔質である。

次にウトロ褐鉄鉱と人工針鉄鉱(硫酸第一鉄($\text{FeSO}_4 \cdot 7\text{H}_2\text{O}$)溶液を酸化沈殿して得た)をX線回折して得た結

* 昭和42年10月本会講演大会にて発表

昭和43年6月22日受付

** 北海道立工業試験場 工博

*** 北海道立工業試験場

Table 1. Chemical composition of limonite ores (%).

	T.Fe	FeO	SiO ₂	Al ₂ O ₃	CaO	MgO	S	P	As
Utoro	55·53	0·14	2·80	2·20	0·01	0·02	0·82	0·050	0·016
Shiretoko	54·11	0·21	4·13	1·22	0·04	0·07	1·23	0·016	0·016
	Na ₂ O	K ₂ O	MnO	V	TiO ₂	Cu	Loss in wt.		
Utoro	0·025	0·013	0·06	0·033	0·028	Non	15·67		
Shiretoko	0·030	0·010	0·07	0·028	0·064	Non	16·88		

Table 2. X-ray diffraction of samples.

Limonite ore	Artificial goethite	ASTM '8-97 $\alpha\text{-Fe}_2\text{O}_3 \cdot \text{H}_2\text{O}$			
d (Å)	I/I_0	d (Å)	I/I_0	d (Å)	I/I_0
4·19	100	4·21	100	5·0	20
3·36	10	3·38	10	4·21	100
2·69	50	2·69	50	3·37	20
2·58	30	2·59	20	2·69	80
		2·50	20	2·57	20
				2·51	10R
2·44	80	2·45	70	2·48	20
2·25	30	2·26	20	2·25	20
2·19	20	2·19	20	2·18	40



A : Artif. goethite B : Limonite ore

Photo. 1. Electron photomicrographs.

果は、Table 2 のように両者が同一のものであることを

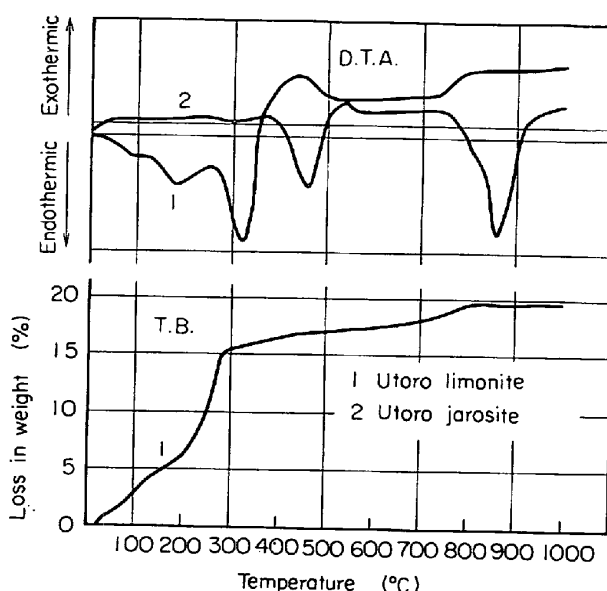


Fig. 1. Results of D.T.A. and T.B. tests.

示した。

また電子顕微鏡写真によれば (Photo. 1) 褐鉄鉱粒子の外観は人工針鉄鉱と非常に異なり、不規則な球状粒子であることがわかつた。

2·3 示差熱分析と熱天秤試験

ウトロ褐鉄鉱について示差熱分析と熱天秤試験を行なつた。結果は Fig. 1 のようになり、褐鉄鉱は 180°C 附近に吸着水脱離の幅広い吸熱があり、320°C 附近には結合水放出の吸熱ピークがある。同時に併行してウトロ鉄明ばん石 (T.Fe 32·7%, S 11·9%, K₂O 6·7%, SiO₂ 0·02%) では 460°C と 855°C にそれぞれ吸熱ピークがあり、褐鉄鉱と全く異なる。したがつて本試料には鉄明ばん石は含まれていないことがわかる。

褐鉄鉱の熱天秤試験における 290°C までの減量は吸着水、結合水の脱水で、これは示差熱分析では 320°C の吸熱ピークに相当する。290~800°C 付近までのゆるやかな減量は腐植物からもたらされた有機酸や硫酸塩などが除々に分解していくためと思われる。

3. 生ペレットの製造

3.1 褐鉄鉱の粉碎性

ペレタイジングには鉱石の微粉碎が必要である。しかし粉碎、摩鉱には相当な費用がかかるため生ペレットの必要強度をうる限度にとどめなければならない。

また最近鉱石の粉碎の難易を表わす指標として仕事指数 (Work index) が用いられているが、知床褐鉄鉱を規定の方法²⁾によつて測定した結果は $Wi = 4.80$ で、磁鉄鉱の 11.33, 赤鉄鉱の 12.93, タコナイトの 14.60, 黄鉄鉱の 8.93 など³⁾ と比べて非常に粉碎しやすい鉱石であることがわかつた。

一般に湿式摩鉱は乾式摩鉱に比べ粉碎効率上有利であるといわれるが、ウトロ褐鉄鉱の場合も同様でバッチャミル (内径 21cm, 円筒部長さ 11cm, 内容積 6.6l, 42 rpm) でのテストによれば Table 3 のようになり、ペレタイジングに必要な粒度 -44μ 60% に粉碎するのに湿式粉碎では約 23 min を要し、乾式粉碎では約 42 min を要するので湿式粉碎のほうがこのバッチテストだけでははあるかに有利といえる。

この粉碎産物粒度分布は Rosin-Rammlar-Bennett の式 $R = 100 e^{-(x/k)^n}$ が適用され、分布係数 $n = 1.3$, 粒度係数 $k = At^{-0.81}$ ($A = \text{定数}, t = \text{粉碎時間, min}$) で表わされることがわかつた。これから計算によつて必要粒度(80%通過粒度)を得るための粉碎時間が求められる。

3.2 粉鉱の脱水性

上記のように摩鉱費からは湿式摩鉱のほうが有利であるが、湿式摩鉱産物を造粒する場合、あらかじめ造粒適正水分以下に脱水する必要がある。

ウトロ褐鉄鉱 (-1 mm) をパルプ濃度 65% でボーラルミル摩鉱し (産物粒度は -44μ 58%), それを 35 mm Hg の減圧で吸引ろ過し、残留水分を測定した結果ではろ過時間 15 min で水分 15%, 摩鉱産物粒度が -44μ 73% では水分 20% であった。さらにこの試料を 60 min ろ過しても水分 18% にとどまつた。試みにこの両試料で造粒してみたが、水分 15% では造粒機内に粘着し、18%では単に流動的な転動をするのみで満足な造粒はなしえなかつた。したがつて実際化にあたつては、(1) 湿式摩鉱一ろ過脱水一加熱乾燥一造粒の湿式法と、(2) 加熱乾燥一乾式摩鉱一造粒の乾式法との 2 方式について比

Table 3. The relation of size distribution and milling time on dry and wet willing process.

(1) Sizing analysis of dry milling

Size (μ)	Time (min)	10	15	20	25	30	35	40	45	50
+250	5.9%	1.4	1.3	0.9	0.6	0.8	0.8	0.7	0.8	0.8
~177	11.3	5.1	4.1	0.9	0.6	0.6	0.6	0.7	0.5	0.5
~125	16.0	12.3	12.2	6.1	3.9	3.2	2.5	1.5	1.4	1.4
~88	10.1	9.9	10.1	8.9	6.9	6.6	5.9	3.2	2.9	2.9
~62	3.5	14.6	14.6	15.4	16.1	15.7	15.4	15.7	14.1	14.1
-62	53.2	56.7	57.7	67.8	71.9	73.1	74.9	78.2	80.3	80.3
80% pass grain size (μ)		165	120	115	82	74	72	70	65	<62

(2) Sizing analysis of wet milling.

Size (μ)	Time (min)	0	10	20	25	30	35	40	45	50
1000~750	9.7%									
~500	10.8									
~350	10.1									
~250	10.5	3.3	0.2	0.1						
~177	10.3	8.3	0.6	0.2	0.1	0.1	0.2	0.2		
~125	10.7	15.8	5.6	3.0	0.9	0.4	0.2	0.2	0.1	
~88	7.7	12.5	9.3	6.3	3.5	1.8	1.2	0.7	0.6	
~62	8.1	15.3	18.4	12.7	13.9	9.4	9.1	6.5	4.9	
~44	8.9	9.3	19.7	12.5	13.6	18.2	13.2		11.4	
~31			9.1	15.3	20.7	14.4	16.1		10.5	
~22			8.1	13.3	10.8	11.2	14.9		14.1	
~15		13.2	35.5	7.4	11.0	10.5	13.5	17.2	92.5	17.6
~11			5.4	6.0	6.0	8.1	5.6		11.9	
~8			7.0	5.1	5.2	5.3	4.2		7.4	
-8			9.2	14.5	14.8	17.6	18.1		21.5	
80% pass grain size (μ)		510	148	82	66	60	53	49	49~40	40

較検討しなければならない。(1)の湿式法では必要粒度に摩鉱した場合、ろ過脱水後の水分は15~20%あり、これを加熱乾燥すれば多大の経費を要するばかりでなく粘土と同様不規則な塊状に固結し、良好なペレットを造るためににはさらに簡易な粉碎をした後、造粒をしなければならないであろう。また(2)の乾式法における加熱乾燥の必要な理由は、採掘した鉱石はそのままでは6~7%の付着水を有し、それをミルに入れて摩鉱した場合は鉱石が微粉になるにしたがつてミルの内壁に粘着しましたボルにも被覆して、ついにミルの摩鉱能力が全くなくなるからである。(2)の場合の乾燥は塊鉱の乾燥であるから(1)の場合の乾燥に比べてはるかに容易である。また乾式摩鉱でもエロフォールミルのごとく摩鉱過程において適当な分級装置を付設すれば、きわめて効果的に粉碎しうる例もあるから、パッチ試験のみで湿式摩鉱が有利と断定することもできない。以上のような理由によつて粉碎から造粒までの全工程を考えるならば乾式法が有利であり、湿式法では実施困難である。

3.3 粉鉱の造粒性

ウトロ褐鉄鉱粉鉱10gに水2ccを加えて手で造粒したが、88~125μに整粒した試料では造粒は不能であった。88μ以下の粉鉱から造粒可能となり、直径約20mmのペレットができた。そしてさらに細粒になるにしたがつて造粒は容易になつた。その原料粒度と生ペレット強度の関係はFig. 2のようである。原料粒度は-44μの微粒子の含有百分率によつて表わした。

44~62μに整粒した褐鉄鉱粉鉱は同粒度の磁鉄鉱(チリ産)、赤鉄鉱(インド産)の粉鉱に比較すると造粒性

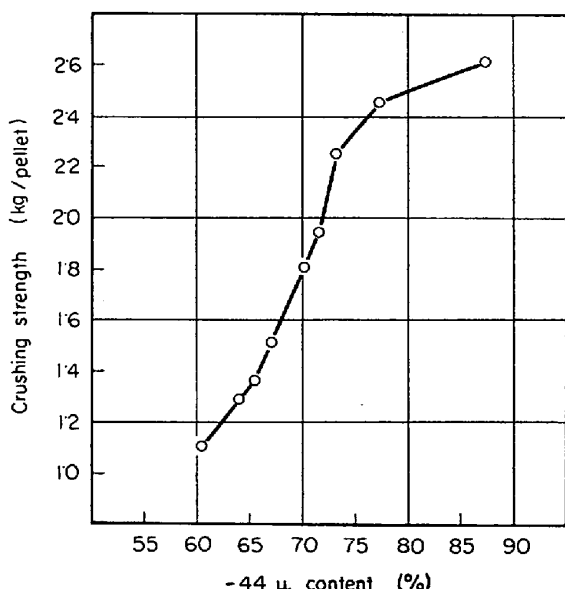


Fig. 2. Relation between crushing strength and -44 μ particle content of green pellets.

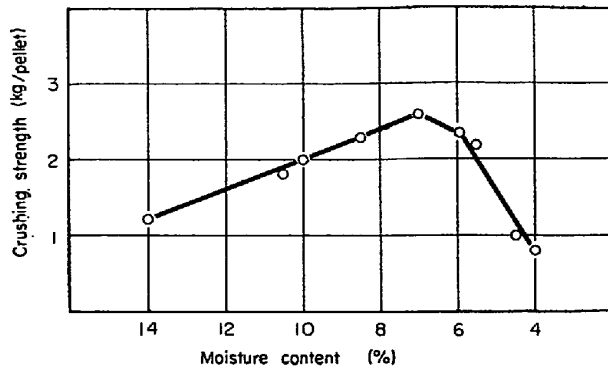


Fig. 3. Relation between crushing strength and moisture content of green pellets (dia. 20 mm).

は最も悪く、強度も磁鉄鉱の4.0 kg/pellet、赤鉄鉱の1.3 kg/pelletに比べて、褐鉄鉱は0.2 kg/pelletで非常に低かつた。

また同一粒度の生ペレットでも含有水分によって強度が変化する。この褐鉄鉱粉鉱(粒度は-44 μ 76%)で手造粒した生ペレットの水分と強度の関係はFig. 3のようである。水分の測定は圧壊した生ペレットを直ちにKN式水分検定器によつて測定した。また水分調整は自然乾燥によつたので放置時間の長短によつて調節した。その結果水分7%付近で強度が最高となることが判明した。

3.4 生ペレットの強度

生ペレットは焼成過程までに荷重、衝撃、膨張、収縮などを受けるので、それらに耐える強度が必要である。この強度については、とくに規定はないが、圧壊強度2.0 kg/pellet以上、落下強度70%以上あれば実用できると考えられる。圧壊強度は、生ペレット10~15 mmφのもの10個、15~20 mmφのもの10個の破壊荷重を測定し、それら20個の平均値で示した。落下強度は上記同様の20個を一度に高さ50cmから厚さ5mmの鉄板上に繰り返し5回落下後+5mmの重量百分率を測定し、その数値によつて示す。

乾式で粉碎し-44 μ 83%, 60%, 57%にそれぞれ調整したウトロ試料を、ディスク型ペレタイザー(700 mmφ×140 mm)を用い、傾斜47°、回転数20rpm、給鉱量60 kg/hrで連続的に造粒し、得られたペレットについてその強度を測定した。結果はFig. 4のようになり、強度的には原料粒度-44 μ 60%以上、ペレット粒径10 mmφ以上、水分8.0~10.5%でよいことがわかつた。このペレットを造粒するときの水分添加は11~12%であるから必要強度に達するには短時間放置乾燥し水分調整をしなければならない。

つぎに生ペレットおよび焼成ペレットの強度向上、品質改善を目的として結合剤を添加した。ベントナイト(国峰)の添加率 0.5~3.0%, 石灰(有効 CaO 79.6%)

1~4% では生ペレットの強度は多少向上した。また長万部産ゼオライト(一般式は $\text{CaO} \cdot \text{Al}_2\text{O}_3 \cdot n\text{SiO}_2 \cdot n\text{H}_2\text{O}$)を 1~2% 添加した場合には、ベントナイトよりよい結果が得られた。

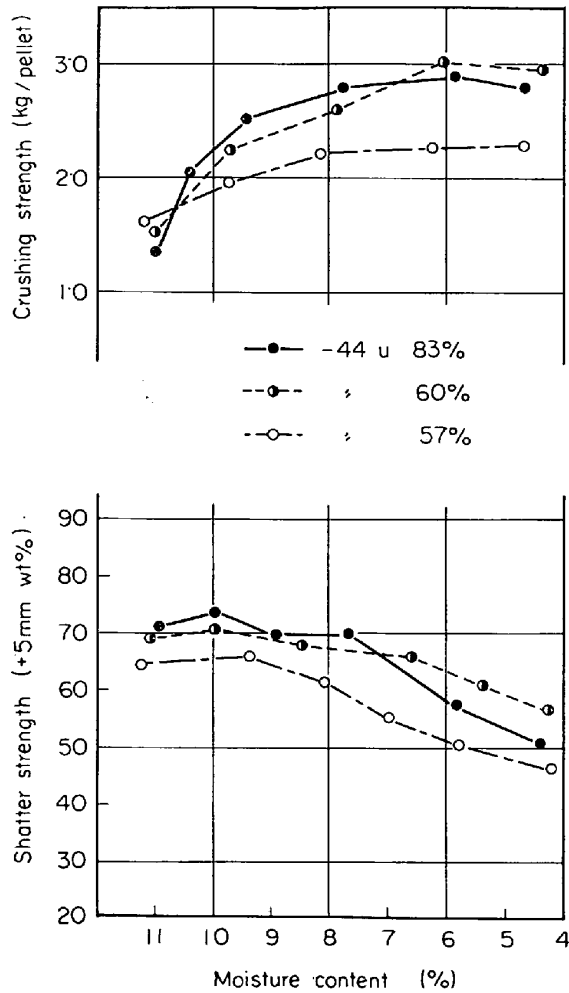


Fig. 4. Effect of moisture content and raw material size of green pallets on their mechanical strength.

Table 4. Chemical composition of sample (magnetite ore).

T.Fe	FeO	Fe ₂ O ₃	SiO ₂	Al ₂ O ₃	CaO	MgO	Mn
64.89	16.29	74.69	4.35	0.80	1.21	0.81	0.06
TiO ₂	V	Cr	Cu	S	P	As	Loss in wt.
0.16	0.250	0.002	0.008	0.005	0.143	0.002	1.09

Table 5. Size distribution of samples.

Size	+62 μ	62~44 μ	44~22 μ	22~11 μ	-11 μ
Limonite	17.3%	7.0	35.0	14.8	25.9
Magnetite	45.5%	5.0	as -44 μ	49.5	

は困難であるが、第1ピークは水の沸点の、第2ピークは結合水の放出の前で、いずれも含有する水の急激な放出の直前であることが注目される。第3ピークはヘマタイト化(X線回折試験によれば、褐鉄鉱は500°C付近からヘマタイト化し1100~1200°Cで完了し、磁鉄鉱では600°C付近から顕著なヘマタイト化が始まり1000°C

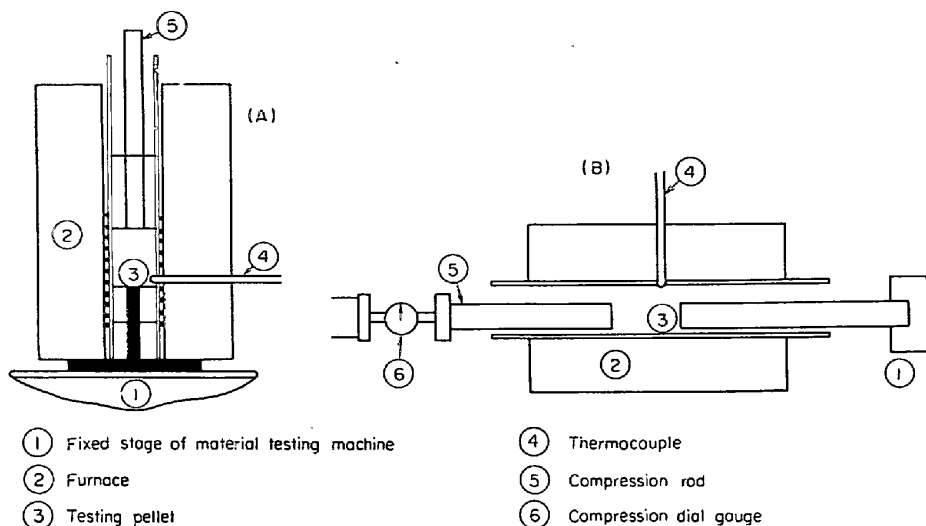


Fig. 5. Measuring apparatus of the high temperature crushing strength.

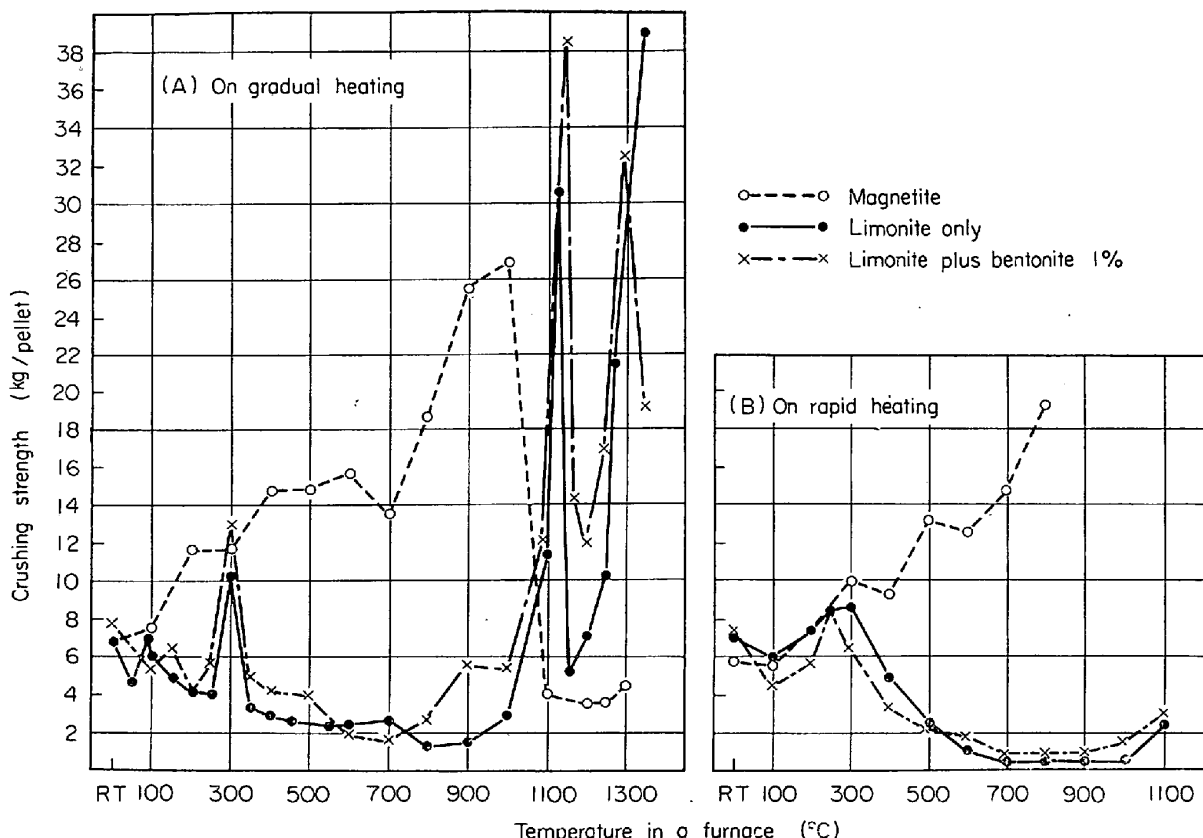


Fig. 6. The crushing strength of iron ore pellets at high temperature.

では完了する.)がほとんど完了し、拡散結合が始まろうとする前の状態と考える。〔未発表ではあるが、ベンガラの研究において人工針鉄鉱がバイ焼によつてヘマタイト化し(化学変化としては $\text{Fe}_2\text{O}_3 \cdot \text{H}_2\text{O} \rightarrow \text{Fe}_2\text{O}_3$)、最もよい色調(人によつていくらか違うが)となるのは約800°Cであり、それを電子顕微鏡で観察すれば、針鉄鉱の尖端は融けて丸くなりマユ状となつてゐる。〕このことから、顕微鏡程度では確かめえないが、1130°C付近で

は褐鉄鉱粒子表面のきわめて小さな尖端や付着微粒子は一部溶融軟化し、粘性を帶びて大粒子間に介在しこれらを相互に連結しているであろうと考える。これがさらに昇温すれば褐鉄鉱粒子の表面はいくらか溶融を始め尖端や付着微粒子などは流動性を帶びるようになり、そのため拡散現象を生ずる。その後さらに昇温すれば溶融液化的進展につれて流動性が増大し、粒子接点において分子が自由に交流しボンドが形成され、ペレット化の完成と

なると考える。以上の考察と、後述する焼成温度別の顕微鏡写真(Photo. 2)とをあわせて考えるならば、つぎの過程が推察される。(1100~1130°C)で表面微粒子や尖端の溶融軟化→(1130~1160°C)で拡散現象起こる→(1160~1200°C)でボンドの生成始まる。その後褐鉄鉱のペレットは磁鉄鉱ペレットと異なり、さらに一度強度ピークが現われる。これは褐鉄鉱が空隙を多く有するためボンド形成後流体的とならず、可塑体的となるためであろう。したがつてこのピークは可塑体が示す強度と同じで降伏点が明確でなく、強度測定時にばらばらとならず粘土を押しつぶしたようになっている。

ベントナイト1%を添加した場合は、その吸蔵水の放出やベントナイト粒子がきわめて微粒であつて鉱石粒子の間に介在するため溶融、軟化現象の進行過程において接着、融着を妨げ、したがつて強度ピークはやや高温側にずれて現われる。また第3ピークとその後の谷では強度向上にいくらかの効果を示しているが、1300°C以上では強度に好影響はない、むしろ弱くする傾向がある。

ベントナイトの焼き割れ防止の効果は、Fig. 7の示差熱分析と熱天秤試験の結果から、その吸蔵水の放出を800°C付近まで徐々に続けることによるものと考える⁴⁾。

4・2 急熱ペレットの強度

ペレットは急激に加熱されると、一般に弱化し破壊粉化しやすくなる。このショック温度の調査のため急熱試験を行なつた。使用した電気炉はFig. 5(A)である。

まずあらかじめ炉温を所定温度とし、その中へ静かにペレットを装入し、10 min放置して強度を測定した。

結果はFig. 6(B)のようになり、徐熱の場合と同様な傾向を示したが、磁鉄鉱ペレットは900°C以上では

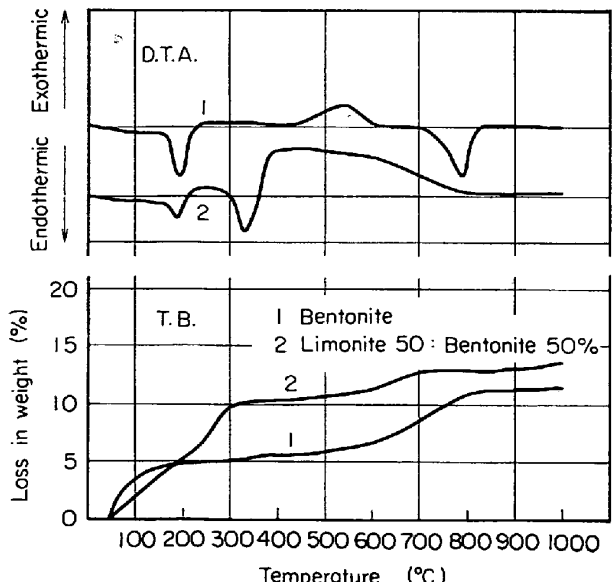


Fig. 7. Results of D.T.A. and T.B. tests.

爆発して原形をとどめず粉化する。褐鉄鉱ではこのような現象はないが、焼き割れのためきわめて弱くなり、ようやく自形を保つ程度となる。ベントナイトを添加すると、弱化の温度範囲が狭くなり、かつ強度にもわずかに好影響がある。いずれの場合にも1100°Cから明りように強度が向上する。以上の熱間強度測定結果より、褐鉄鉱ペレットは1100°Cまで静置徐熱する方法を考えれば、それ以後は磁鉄鉱ペレットの熱間強度に比してそん色なく、したがつて磁鉄鉱ペレットと同様1100°C以上においてはたて炉でもロータリーキルンでも焼成しうると思われる。

5. ペレットの焼成および性状

ペレットを高炉原料として使用するためには、成分も重要であるが、十分な強度とよい還元性を必要とする。本試験では初めに電気炉による予備的試験を行なつて焼成条件を決定し、つぎにナベ焼成試験を実施しその性状を調査した。

ペレットの圧壊強度、落下強度、気孔率は学振法で、回転強度、還元率はJISに準じて測定した。

5・1 電気炉焼成試験

使用した電気炉はシリコニットマッフル炉(100×150×300 mm)で、生ペレット約400 g(30~40個)をシャモット製皿に入れて焼成を行なつた。昇温速度は300°Cまで5°C/min、それ以後約8°C/minである。

5・1・1 単味ペレット

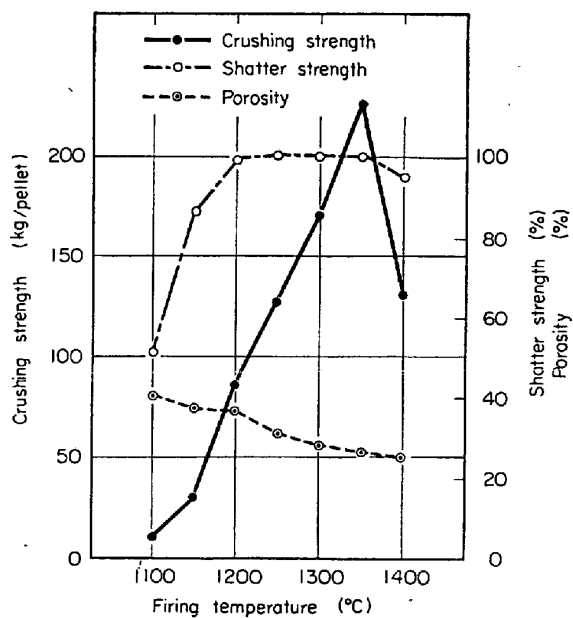


Fig. 8. Effect of firing temperature on crushing strength, shatter strength and porosity of fired pellet.

原料はウトロ褐鉄鉱、粒度は -44μ 83%である。焼成温度は1100~1400°Cで50°C間隔に、時間はそれぞれの温度で60min保持した。その結果、Fig. 8のように圧壊強度は1350°Cまでは温度とともに上昇し、1400°Cになると表面にひび割れを生じ強度は低下する。目標圧壊強度を100kg/pellet以上とすれば、焼成温度は1250°C以上を必要とする。落下強度は1250~1350°Cでは100%を示し、1400°Cでは94%であつた。気孔率は温度の上昇とともに低下し、ペレットが焼き締まっていることを表わしている。また焼成ペレットの粒径は13.0~14.5mm、T.Feは65.5~66.1%であつた。

これらペレットの顕微鏡組織をPhoto. 2に示す。焼成温度1100°Cでは粒子は Fe_2O_3 化しており、まだ原料自形が認められる。1150°Cでは粒子間隔が短縮しつつ多孔質化する。1200°Cになると多孔質化はますます進み、大きい粒子は消失し輪郭のみが残存し、網状となり拡散を始める様子を示す。1250°Cでは原料自形は全く消失し、一様に網状の拡散結合を示し、酸化鉄鉱物の拡散が終了の時点と考えられる。さらに1300°Cになると網状結合はいつそう増し、網目が細かく、焼き締まりが認められる。1350°Cでは Fe_2O_3 粒子相互が融着し、

ボンドも発達し、微量の Fe_3O_4 の発生が認められる。1400°Cでは粒子融着はさらに進み網目は減少し、巨大な気孔や割れ目を生じ、この周辺に Fe_3O_4 化した部分が散在する。以上の所見は上記ペレットの気孔率、圧壊強度測定結果を裏づけしており、組成的にはX線回折結果と一致した。

つぎに焼成時間を短縮したペレットの試験を行なつた。すなわち15, 30minで1250~1400°C, 50°C間隔で焼成した。これらの圧壊強度はFig. 9に示すように温度に関係なくいずれも15min焼成が高値を示し、1400°C 15minが最も強度が大であつた。X線回折では1400°C 15minには Fe_3O_4 が認められず、30minでは明らかに現われ、60minでは顕著であつた。

顕微鏡観察では、1250°CはPhoto. 2のCとDの中間に示し、1300°CのものはDとほぼ同様で、1350°CはEと同様な組織を示している。すなわち焼成時間が短くなると結合、拡散状態は焼成温度の低い場合の組織と類似する。しかし1400°Cではその差は現われずGとほぼ同様で、ただ15minでは Fe_3O_4 化が若干少ないことが認められた。化学分析では、 FeO は焼成時間の経過とともに増加し、1400°C 60minでは6%になる(Table 6)

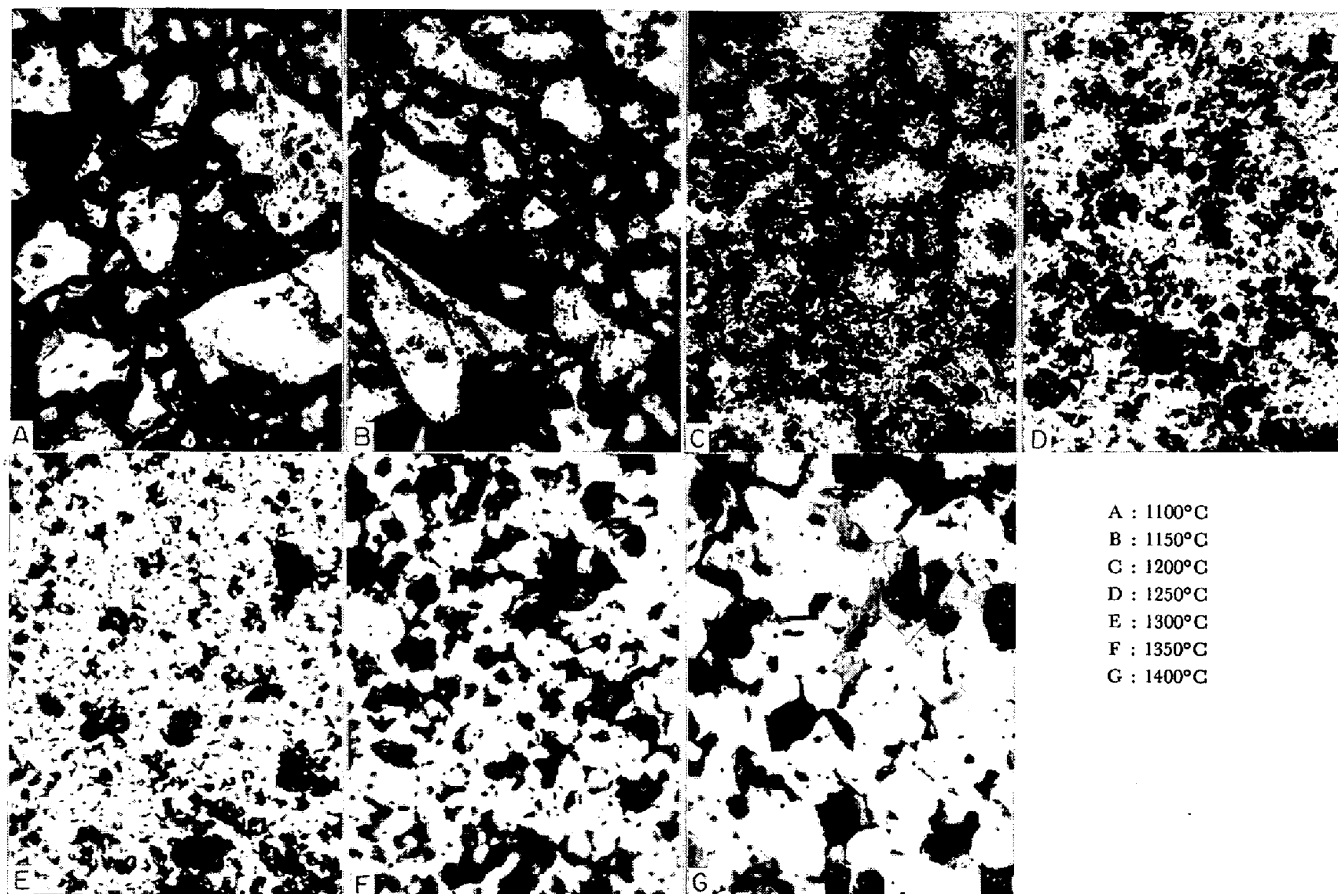


Photo. 2. Microstructures of limonite pellets fired for 60 min in air atmosphere with electric furnace (no etching, magnification $\times 400$) (3/4).

参考)。これらのことから、 1400°C 焼成の時間経過による強度低下は、 Fe_3O_4 の生成、表面に生ずるひび割れ ($1400^{\circ}\text{C} 60\text{ min}$ のとき認められた大きなひび割れは短

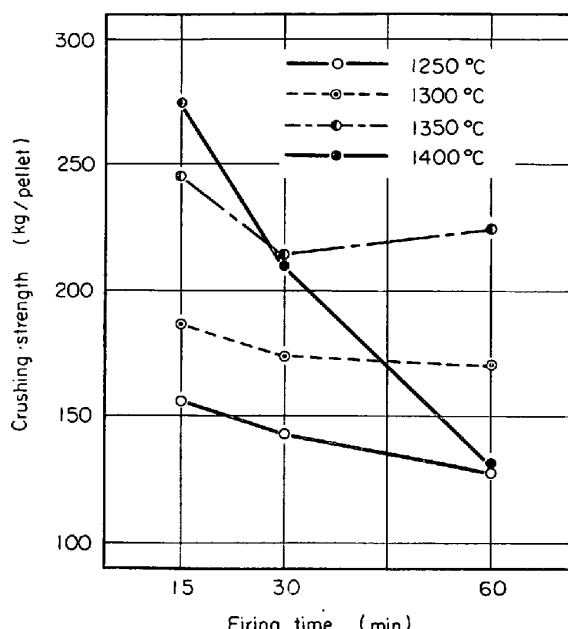


Fig. 9. Relation between crushing strength and firing time.

Table 6. FeO contents of fired pellets.

Firing temp. (°C)	FeO (%)		
	firing time (min)		
	15	30	60
1250	—	—	0.85
1300	—	—	1.49
1350	—	—	2.12
1400	3.40	5.81	6.00

Table 7. Effect of mean size and moisture content of green pellets on properties of firing pellets ($1350^{\circ}\text{C}/30\text{ min}$).

Green pellets		Firing pellets					T.Fe	SiO_2	S
Pellets size (mm)	Moisture contents (%)	Mean size (mm)	Crushing strength (kg/pellet)	Shatter strength (+5 mm%)	Porosity (%)	Chemical analysis (%)			
20~25	5.0	15	244	100.0	—				
15~20	10.1	13	177	100.0	21.5	22.0	T.Fe	65.67	
	9.0		231	100.0			SiO_2	3.61	
	5.0		239	100.0			S	0.012	
10~15	11.9	10	119	100.0	22.0	—	T.Fe	65.88	
	7.7		217	100.0			SiO_2	3.77	
	4.9		209	100.0			S	0.017	
5~10	8.8	6	124	100.0	—				
	4.9		114	100.0					

Table 8. Properties of fired pellets with bentonite addition.

Rate of add. (%)	Firing temp. (°C)	Shatter strength (+5mm %)	Porosity (%)	T.Fe (%)
0.5	1200	97.5	21.4	65.46
	1250	100.0	19.3	
	1300	100.0	11.6	
	1350	100.0	10.6	
1	1200	92.0	28.4	65.40
	1250	97.8	19.0	
	1300	100.0	16.6	
	1350	100.0	10.7	
2	1200	96.9	30.5	65.02
	1250	98.2	23.4	
	1300	100.0	18.1	
	1350	100.0	12.3	
3	1200	96.1	24.5	64.22
	1250	96.8	22.6	
	1300	100.0	18.1	
	1350	100.0	16.1	

* Mean size of fired pellets 13~14mm.

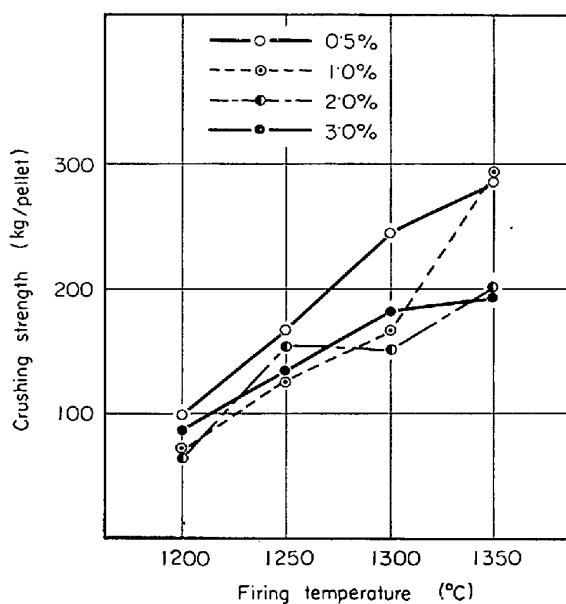


Fig. 10. Effect of bentonite addition on crushing strength of fired pellets at different temperature.

合維持の働きにより粒子の融着成長を妨げていると考えられる。その一部を Photo. 3 に示す。

以上の結果から、ベントナイトの添加は強度的には著しい効果はないが、焼き割れ、粉化防止に好影響があるといえる。

(2) 石灰の影響

ペレットに石灰を添加することは低温焼成が可能になり、かつその自溶性を高め高炉操業の高能率化の利点が

Table 9. Properties of fired pellets with lime addition.

Rate of add. (%)	Firing temp. (°C)	Shatter strength (+5 mm %)	Porosity (%)	Chemical analysis(%)	
				T.Fe	S
1	1200	99.4	27.4	—	0.013
	1250	100.0	21.5		0.001
	1300	100.0	24.9		0.001
	1350	99.6	28.6		0.001
2	1200	99.8	34.3	—	0.040
	1250	100.0	24.5		0.009
	1300	100.0	23.8		0.001
	1350	99.6	23.8		0.001
3	1200	98.8	28.2	—	0.062
	1250	100.0	20.5		0.030
	1300	100.0	18.9		0.021
	1350	100.0	25.6		0.020
4	1200	100.0	29.3	—	0.248
	1250	100.0	21.9		0.082
	1300	100.0	20.2		0.093
	1350	100.0	25.3		0.002

* FeO in fired pellets 1~2%.

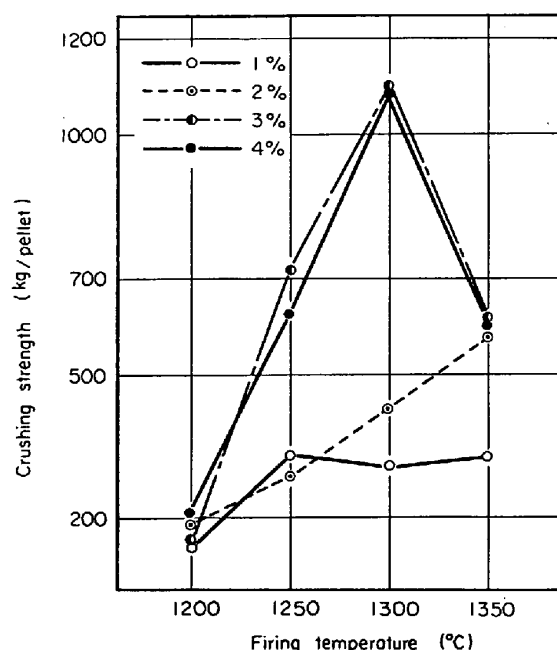


Fig. 11. Effect of lime addition on crushing strength of fired pellets at different temperature.

ある。しかし多量の S を含んでいる鉱石に石灰を添加すると脱硫率が低下するので、強度など以外にその点についても調べた。石灰添加率 1~4% の生ペレットを 1200~1350°C で 30 min 烧成した。圧壊強度は Fig. 11 のようになり、1200°C でいずれも 100 kg/pellet 以上を示し、添加率 3, 4% のものは 1, 2% に比べて強度増加が著しく、1300°C で約 1100 kg/pellet を示したが、

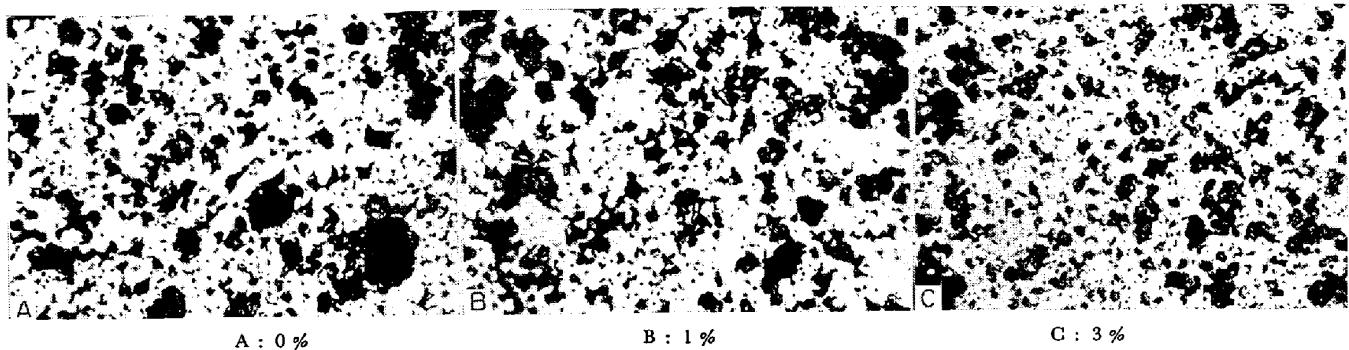
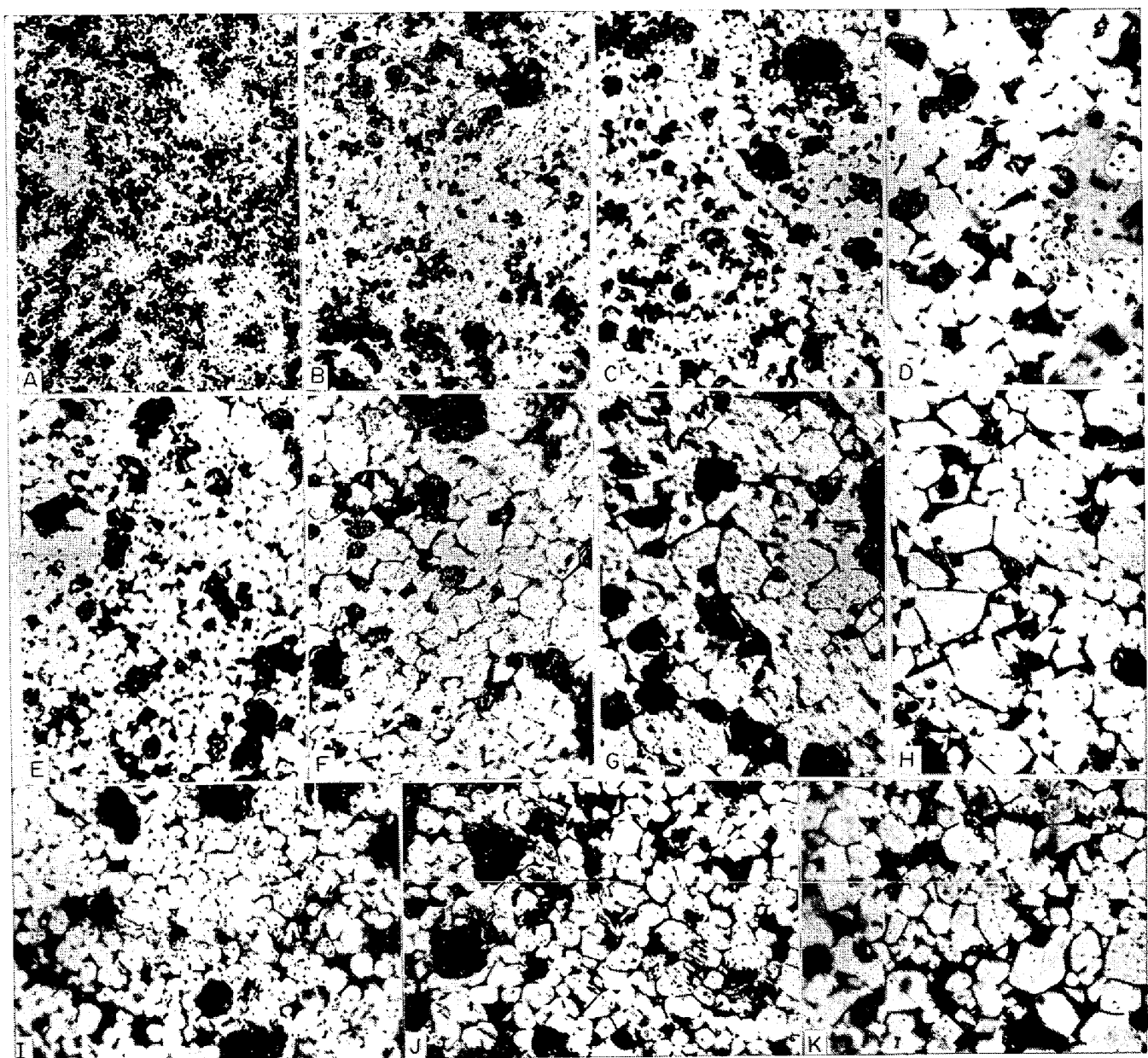


Photo. 3. Microstructures of bentonite added pellets fired at 1350°C for 30 min in air atmosphere with electric furnace (no etching, magnification $\times 400$) (2/3).



A~D : Limonite only. A : 1250°C, B : 1300°C, C : 1350°C, D : 1400°C.

E~H : Lime added. E : 1% 1250°C, F : 2% 1300°C, G : 3% 1300°C, H : 4% 1300°C.

I~K : Bentonite and lime mixed add., fired at 1300°C.

I : bentonite 1% lime 1%, J : bentonite 1% lime 2%, K : bentonite 1% lime 3%.

Photo. 4. Microstructures of pellets fired for 30 min in air atmosphere with electric furnace (no etching, magnification $\times 400$) (3/4).

1350°Cでは低下した。これは1300°C焼成のものは表面、内部とも粒子が融着し、光沢のある非常にかたいペレットになつてゐるが、1350°Cのものは表面に多数の亀裂が生じたため、圧壊強度が低下したと考えられる。一方、落下強度(Table 9)はほとんどが100%であつた。

本試料には約1%のSを含んでおり、単味焼成の場合は1000°CまでにはほとんどのSがSO₂となつて飛散する。しかし石灰を添加して焼成した場合のペレットのSは、添加率、焼成温度別にTable 9に示したようになり、添加率4%，1200~1300°Cでは若干のSが残存するが、1350°Cでは添加率に関係なく脱硫される。

これらの顕微鏡組織はPhoto. 4に示すように、石灰添加によりFe₂O₃粒子の融着現象が著しくなる。すなわち添加率1%1250°C焼成(E)と単味1350°C(C), 2~4%1300°C焼成(F, G, H)と単味1400°C(D)は同様な結合組織を示した。したがつて粒子の大きさ、網状結合などの面から、石灰添加の場合、単味ペレットと比較して約100°Cの低温焼成が可能であると考えられる。また添加率2%(F)と4%(H)では同様な融着組織を示した。

以上の結果から、石灰の添加はペレットの強度を著しく高めかつ約100°Cの低温焼成が可能であるといえる。

(3) ベントナイト+石灰の影響

焼き割れ、粉化防止に効果のあるベントナイトと強度を著しく増加させる石灰とを混合添加した場合の効果について検討した。添加率はベントナイト1%に石灰1~3%，焼成温度は1250~1350°C, 30minである。結果はTable 10のようである。この試験からはベントナイト添加による焼き割れ防止効果はとくに認められなかつた。しかしベントナイト1%+石灰1%ペレットの圧壊

強度は、石灰1%，単味の場合よりも向上した。したがつて混合添加はそれぞれ1%で十分と考えられる。

これらの顕微鏡組織の一部をPhoto. 4(I~K)に示したが、石灰添加率がふえるとFe₂O₃粒子の融着現象が生じ、網状結合が粗になる。単味ペレット(A~D)と比較すれば、ベントナイト1%+石灰1%1300°C(I)は1350°C焼成(C)と同様の組織を示し、石灰の影響が現われている。また石灰単独添加ペレット(E~H)と比較すれば、ベントナイトの網状組織維持作用も現われ、Fe₂O₃粒子の融着は抑制されている。すなわち、それらの単独の作用がそれぞれに重複し合つて網状結合の維持とFe₂O₃粒子の融着があいまつて現われると考える。

以上の結果から、ベントナイト、石灰の混合添加ペレットは強度的にも組織的にも良好で、最も実際化に適している。

(4) ゼオライトの影響

ゼオライトの添加は、無添加に比べてペレット表面に多数の焼き割れを生じ、強度向上に効果なく、結合剤としての使用は適当でない。

5.2 ナベ焼成試験

電気炉試験で、圧壊強度の高い、ち密なペレットの製造条件が明らかになつたので、つぎに10~25kgの生ペレットをプロパン使用の焼成ナベに装入して試験を行なつた。

5.2.1 焼成ナベ

使用焼成装置略図をFig. 12に示す。炉はバッチ式でバーナは3本あり、炉壁はSK 34のキャスタブルでライニングし、グレート材質はSUS 42を使用した。ペレットは内径250mm、高さ400mmのポット部に装入され、下向強制通風で焼成される。排ガスはグレート、排気管、排風機を経て煙道へ抜ける。冷却は燃焼をとめ

Table 10. Properties of fired pellets with bentonite and lime addition.

Rate of add.		Firing temperature (°C)	Crushing strength (kg/pellet)	Shatter strength (+5 mm%)	Porosity (%)	T.Fe (%)
Bentonite (%)	Lime (%)					
1	1	1250	283	100·0	25·5	—
		1300	403	100·0	28·2	—
		1350	472	100·0	28·7	63·88
	2	1250	376	100·0	21·8	—
		1300	410	100·0	27·3	—
		1350	404	100·0	32·3	63·49
	3	1250	365	100·0	29·1	—
		1300	501	100·0	26·9	—
		1350	441	100·0	27·4	62·27

* Mean size of fired pellets 12~13mm.

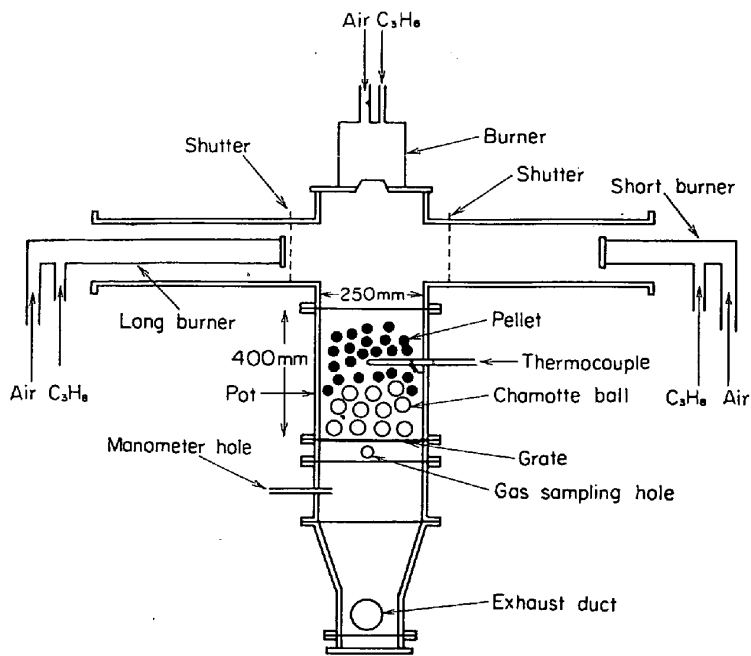


Fig. 12. Pot grate furnace.

自然通風による空冷で行なつた。

最初、生ペレットを 25 kg 装入(層高約 400 mm)し、横バーナで焼成を行なつたが、二次空気の不足やペレット層の温度不均一などから十分な焼成状態が得られず、かつ昇温にも長時間を要したので、試験方法や装置の改良などを行なつた。この結果、良好な焼成が行なわれるようになつたが、均一焼成のためには予熱に 5 hr を要

した。そこでつぎに、この横バーナの使用を中止し、上部バーナに切り替えた。すなわち球状シャモットを床敷とし、生ペレットを 10 kg 装入(層高約 160 mm)し、バーナは一次空気を十分に送つて完全燃焼するようにして試験した結果、ペレットの焼成状態は良好で、かつ昇温速度を早めることができ、予熱・焼成合わせて 2·5 hr の焼成が可能となつたので、焼成温度 1300~1330°C、焼成時間 30 min で単味および結合剤添加ペレットについて試験を行なつた。

5·2·2 ナベ焼成試験結果

結果を Table 11 示す。

(1) 圧壊、落下、回転強度について

Table 11 に示すように、圧壊強度は約 100 kg/pellet 以上、落下強度は 94~100% であつた。

回転強度は JIS では 23 kg の試料が必要であるが、本試験ではナベ装入 10 kg → 焼成 → 約 7 kg のペレットから各種試験試料を探つた残り 5 kg について回転強度を測定したので JIS と同一ではない。このように少ない試料で試験して 23 kg (JIS) の場合と比較した結果では少量になるにしたがつて強度がやや低下することが報告されている⁵⁾。そこで 23 kg の場合一般的に +5 mm 95%以上といわれるので、本試験では回転強度の目標として一応 +5 mm 92·5% 以上とした。試

Table 11. Results of firing test by pot grate furnace.

Sample	Pre-heating time (min)	Firing temp. (°C)	Crushing st. (kg/pellet)	Shatter st. (+5mm%)	Tumbler index +5 mm (%)	Porosity (%)	Reduction ratio (JIS %)	T.Fe (%)	FeO (%)
Limonite only	120	1320	124	95·0	68·0	16·9	63·9	65·35	1·01
	120	1310	142	96·0	67·6	15·1	66·4	65·21	0·72
	120	1320	147	97·0	65·0	18·4	70·1	65·35	1·44
	100	1300	107	94·0	65·1	24·2	68·5	65·50	0·50
	120	1320	96	94·0	53·0	17·7	—	65·08	—
	120	1330	102	97·9	51·6	14·3	62·8	65·36	0·79
	105	1320	112	96·3	49·2	16·3	61·8	65·74	0·58
Bentonite 1%	120	1330	121	96·6	76·9	20·2	61·3	65·40	2·05
	120	1320	210	99·4	76·1	16·0	61·3	64·70	0·65
	120	1320	130	99·6	58·4	16·2	65·6	64·08	1·08
	120	1320	140	99·7	63·3	16·0	64·1	64·50	0·94
Lime 1%	105	1330	293	100·0	—	17·3	—	63·69	—
	105	1330	294	100·0	91·9	18·8	53·2	64·49	1·58
Bentonite 1%	120	1310	546	100·0	97·3	20·3	48·6	64·09	1·95
	120	1310	525	100·0	93·4	17·1	53·8	64·09	2·52
	120	1320	511	100·0	94·1	11·9	—	63·11	—
Lime 1%	105	1310	535	100·0	92·3	20·5	59·2	64·15	2·09
	105	1310	650	100·0	91·3	20·2	—	64·45	—

* Inner pressure of furnace

-30mmAq

** Oxygen volume at firing

7~10%

*** Mean size of fired pellets

14~15

**** Yield of fired pellets

71~74%

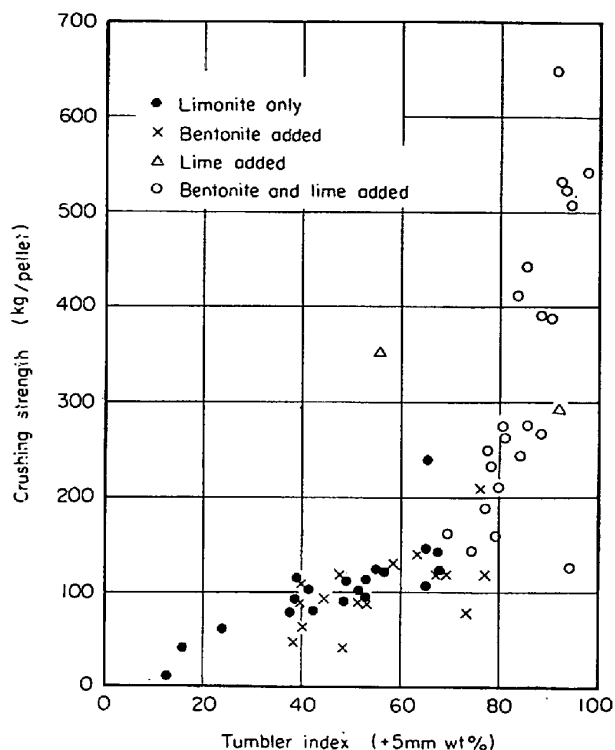


Fig. 13. Relation between crushing strength and tumbler index of pellets.

験方法は JIS に準じた。Table 11 から明らかなように圧壊強度、落下強度は比較的容易に高い数値になるが回転強度は低い。すなわち褐鉄鉱単味では 50~70%，ベントナイト添加では 60~75% と不適当である。石灰を 1% 添加すると回転強度は著しく向上し、ベントナイト 1% と併用することにより目標に達することができた。

なお回転強度と圧壊強度の関係は Fig. 13 のようになる。

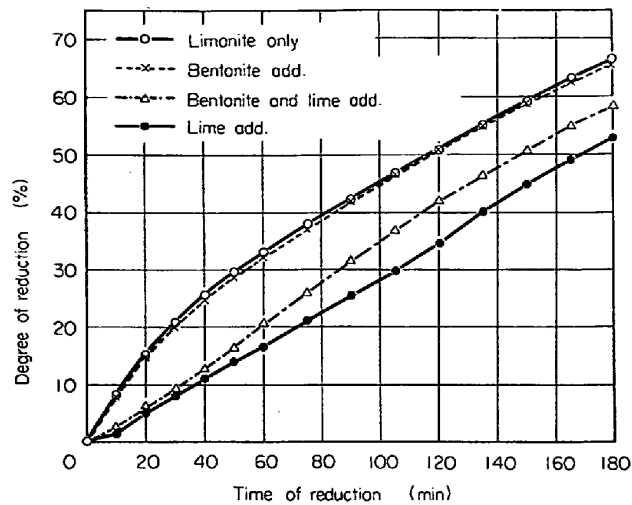


Fig. 14. Rebucipility curves of dellets.

(2) 被還元性と還元後強度について

ペレットの被還元性測定は JIS で行ない、結果を Table 11 に示した。褐鉄鉱単味は 60~70% の還元率を有し、ベントナイト添加のものもほとんど同様であった。石灰を添加すると多少低下する。全試験を通じガス圧変化は 6~26 mm 水柱（平均 10.5）で良好であつた。

これらの還元曲線を Fig. 14 に示した。図から明らかのように還元初期において、石灰を添加したものは他のものより還元速度が遅い。これは顕微鏡観察結果とあわせて、単味、ベントナイト添加の還元されやすい拡散型結合ペレットと、石灰添加の還元されにくい溶融型結合ペレットに分けることができる。

ペレットの還元後強度は学振法によつた。各製鉄所で同法によつて測定された還元後強度（33例）はほとんど

Table 12. Weathering test of pellets.

Remarks		Crushing strength (kg/pellet)		Mean size (mm)
		Before test	After test	
Weathering from Feb. to May	Limonite only	114.0	129.1	12.9
	Bentonite add. 1%	121.0	131.4	14.7
	" " 2%	120.0	121.1	14.0
Reserved time at -15°C (limonite only)	" " 3%	120.0	123.6	13.6
	(day)			
	0		147.0	14.8
	0.5		148.5	15.5
	1.0		154.0	14.5
	3.0		131.0	15.0
Soaking a day, then reserved following temp. for a day (limonite only)	6.0		120.0	14.7
	temp. (°C)			
	room temp.			
	0		136.3	14.6
	-10		96.9	14.5
	-15		89.8	14.0
			103.0	14.3

が +1 mm 指数で 95% 以上, +3 mm で 90% 以上であった。本試料の強度はいずれもこの値以上を示しとくにベントナイト, 石灰両者を添加したものは +1 mm 99% 以上であり, 焼成ペレットの還元後強度は十分である。

(3) 耐候強度について

現地は冬季ペレットの輸送が困難となるので, 屋外に野積み放置されることなど考えられる。この場合の冷却凍結, 融解などの諸現象によつてペレットの強度がどのように変化するかを検討した。試料はナベ焼成の单味およびベントナイト 1~3% 添加ペレットを用い, 2~5月の積雪期から融雪期を経て降雨期に至る 4カ月間屋外放置した経日強度と, さらに低温強度(電気低温装置内で冷却凍結させたものと, 1 day 水中に置きつぎに 1 day 各試験温度に放置した場合)を測定した。結果はTable 12 のように, 季節的経日と低温経日による強度的影響はほとんどないが, 吸水した状態で凍結したペレット強度は若干低下した。以上の結果から, 冬季の野積み保存がペレット強度に悪影響を及ぼすことはあまりないといえる。

6. 結 言

北海道知床産褐鉄鉱のペレタイジングについて調べた結果, つぎのことが明らかになった。

1) この褐鉄鉱は大部分が針鉄鉱できわめて多孔質である。

2) 粉碎の仕事指数は 4.8 で, 他の鉄鉱石に比べてきわめて粉碎容易であるが, 湿式粉碎をした場合には脱水がきわめて困難で, したがつて乾式粉碎がよい。

3) この褐鉄鉱は磁鉄鉱, 赤鉄鉱に比べて造粒性が悪くまた強度も劣るが, 粒度 88 μ 以下から生ペレットを造ることができ, 細粒になるにしたがい造粒が容易となり強度も増加し, 実用に耐える生ペレットができる。

4) 生ペレットの強度は含有水分に大きな影響を受け, 水分 7% 付近で最強である。ディスク型造粒機によれば粉鉱粒度 -44 μ 60% 以上, 生ペレット粒径 10~20 mm がよいことがわかつた。

5) 熱間強度測定結果から, 1100°C までは静置の状態でなければならず, それ以上の温度では磁鉄鉱ペレッ

トよりも強度が大で, ロータリーキルンあるいはたて炉のいずれでも焼成可能である。また磁鉄鉱ペレットのような熱ショックはない。

6) 生ペレットの焼成温度は強度および組織の面から 1350°C が適当で, 予熱時間 120 min, 焼成時間 15~30 min で十分である。

7) 結合剤は, 焼き割れ防止にはベントナイトがよく, 圧壊強度の向上には石灰が効果あり, 両方から考慮するとベントナイト 1% + 石灰 1% 添加したものがよい。

8) ペレットの組織はヘマタイトの拡散結合が基調で, ベントナイト添加はヘマタイトの拡散を増進させ網状結合組織を呈し, 石灰添加はヘマタイト粒子を著しく融着させ溶融型結合組織を示した。両者の添加は, それぞれの単独作用が重複して現われ, 回転強度, 還元率に好結果をもたらし, 回転強度では 95% 以上のものが得られた。

9) 冬季の屋外放置はペレットの強度にあまり影響しないことが明らかになつた。

10) 以上, 本試験により知床褐鉄鉱ペレットは従来の磁鉄鉱, 赤鉄鉱ペレットに劣らないことが明らかになり十分に実用に供しうることがわかつた。

終わりに, 本試験を行なうに当たつて試料を提供された各位と, 貴重な助言と資料をいただいた八幡製鉄(株)技術研究所, (株)神戸製鋼中央研究所, 日本钢管(株)技術研究所, 鋼管鉱業(株)研究所, 日曹製鋼(株)研究部, 川崎製鉄(株)千葉研究部, 富士製鉄(株)室蘭研究所および北海道大学工学部吉井周雄教授に謝意を表する。

文 献

- 斎藤, 山屋, 安藤, 狩, 松下, 山本: 北海道の未利用鉄資源調査報告, 第 8 輯, (1960), p. 1
- 今泉: 日鉄誌, 80 (1964) 3, p. 10
- 同 上, p. 174
- 佐藤, 鎌田, 笠間: 日曹製鋼技報, 1 (1961) 2, p. 1
- 学振製銑第54委員会: 第59回会議, (昭38)
- 一例として, 高橋: 鉄と鋼, 51 (1965) 2, p. 259
- 鎌田, 寺谷, 白銀, 川端, 佐々木, 中里, 吉川: 鉄と鋼, 53 (1957) 7, p. 713